

# Лабораторная работа 2.1.2

## Определение $C_p/C_v$ методом адиабатического расширения

Сидорчук Максим Б01-204

27 апреля 2023 г.

**Цель работы:** определение отношения  $C_p/C_v$  углекислого газа по измерениям давления в стеклянном сосуде. Измерения производятся сначала после адиабатического расширения газа а затем после нагревания сосуда и газа до комнатной температуры.

**В работе используются:** стеклянный сосуд; U-образный жидкостный манометр; резиновая груша; газгольдер с углекислым газом.

**Экспериментальная установка.** Используемая для опытов экспериментальная установка состоит из стеклянного сосуда А (объёмом около 20 л), снабженного краном К, и U-образного жидкостного манометра, измеряющего избыточное давление газа в сосуде. Схема установки показана на Рис. 1.

Избыточное давление создаётся с помощью резиновой груши, соединённой с сосудом трубкой с краном  $K_1$ .

В начале опыта в стеклянном сосуде А находится исследуемый газ при комнатной температуре  $T_1$  и давлении  $P_1$ , несколько превышающем атмосферное давление  $P_0$ . После открытия крана К, соединяющего сосуд А с атмосферой, давление и температура газа будут понижаться. Это уменьшение температуры приближённо можно считать адиабатическим.

Для адиабатического процесса можно записать следующее уравнение:

$$\left(\frac{P_1}{P_2}\right)^{\gamma-1} = \left(\frac{T_1}{T_2}\right)^{\gamma}, \quad (1)$$

где индексом "1" обозначено состояние после повышения давления в сосуде и выравнивания температуры с комнатной, а индексом "2" — сразу после открытия крана и выравнивания давления с атмосферным.

После того, как кран К вновь отсоединит сосуд от атмосферы, происходит медленное изохорическое нагревание газа со скоростью, определяемой теплопроводностью стеклянных стенок сосуда. Вместе с ростом температуры растёт и давление газа. За время порядка  $\Delta t_T$  (время установления температуры) система достигает равновесия, и установившаяся температура газа  $T_3$  становится равной комнатной температуре  $T_1$ .

Тогда используя закон Гей-Люссака для изохорического процесса и уравнение (1) найдём  $\gamma$ :

$$\gamma = \frac{\ln(P_1/P_0)}{\ln(P_1/P_3)}. \quad (2)$$

С учётом того, что  $P_i = P_0 + \rho gh_i$  и пренебрегая членами второго порядка малости получим из (2):

$$\gamma \approx \frac{h_1}{h_1 - h_2}. \quad (3)$$

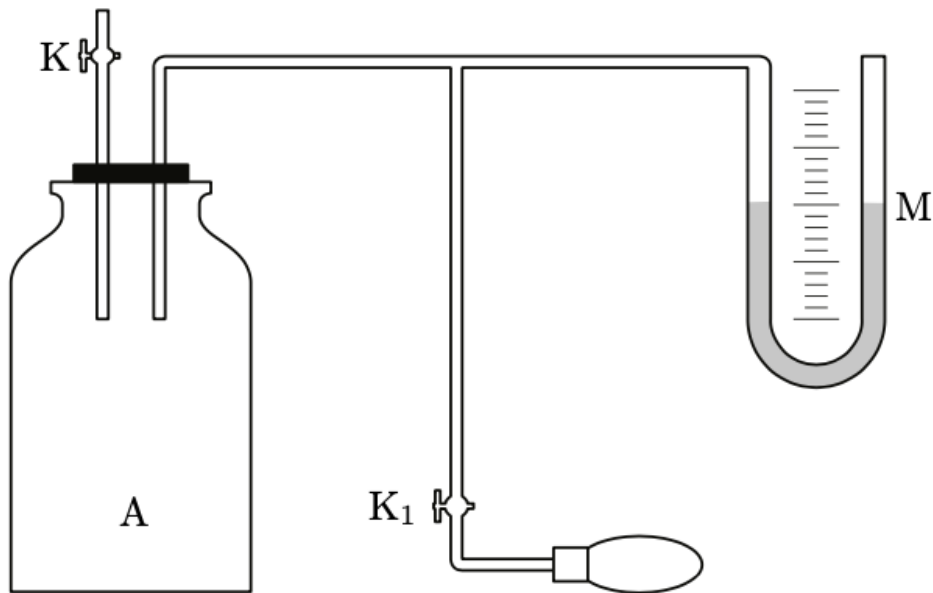


Рис. 1: Установка для определения  $C_p/C_v$  методом адиабатического расширения газа

## Ход работы

1. Перед началом работы убедимся в том, что краны и места соединений трубок достаточно герметичны. Для этого нужно наполнить баллон углекислым газом до давления, превышающего атмосферное и перекроем кран  $K_1$ . По U-образному манометру снимем зависимость давления  $\Delta h$  в баллоне от времени  $t$  и построим график зависимости  $\Delta h = f(t)$ . Из графика определим время установления термодинамического равновесия  $\Delta t_T$ . Стабильное избыточное давление воздуха  $h_1$  в баллоне должно быть тщательно измерено. Как видно из полученного графика время установления равновесия составляет около 60 с.

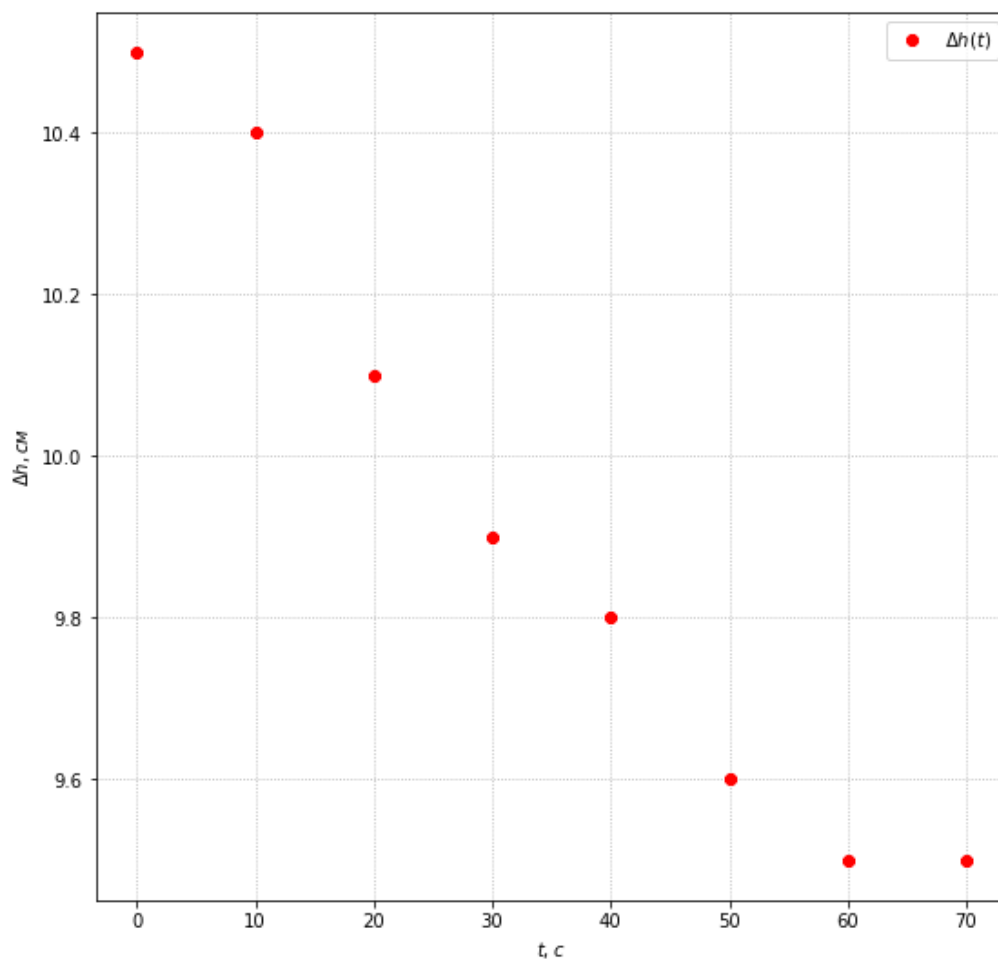


Рис. 2: График зависимости  $h(t)$

**2.** Откроем кран К на короткое время и закроем его снова. Подождём, пока уровень жидкости в манометре перестанет изменяться. Это произойдёт, когда температура газа в сосуде сравняется с комнатной, примерно через время  $\Delta t_T$ . Запишем разность уровней жидкости в манометре  $h_2$ . Проведём серию из 5–8 измерений сначала для времени открытия крана  $\Delta t = 0,5$ с, а затем для  $\Delta t \approx 1,0$ с и  $\Delta t \approx 1,5$ с. По полученным данным вычислим используя формулу (3) вычислим  $\gamma$  и построим график зависимости  $\gamma(\Delta t)$  (График 1).

Таблица 1: Экспериментальные данные для  $\Delta t = 0,5$

№	$h_1$ , см	$h_2$ , см	$\gamma$
1	9.0	1.5	1.216
2	9.8	1.4	1.256
3	9.4	1.5	1.236
4	9.6	1.5	1.371
5	8.6	1.4	1.264
6	9.6	1.5	1.230
		$\gamma_{\text{ср}} = 1.263$	$\sigma_{\text{с},\gamma} = 0.002$

Как видно из предварительных вычислений случайная погрешность  $\gamma$  очень мала в сравнении с инструментальной (которая оценочно будет на порядок больше).

Таблица 2: Экспериментальные данные для  $\Delta t = 1,0$

№	$h_1$ , см	$h_2$ , см	$\gamma$
1	9.1	1.2	1.152
2	8.7	1.2	1.160
3	9.0	1.2	1.154
4	9.0	1.2	1.154
5	9.0	1.2	1.154
5	9.0	1.2	1.154
		$\gamma_{\text{ср}} = 1.155$	$\sigma_{\text{с},\gamma} = 0.003$

Таблица 3: Экспериментальные данные для  $\Delta t = 2,0$

№	$h_1$ , см	$h_2$ , см	$\gamma$
1	9.1	1.0	1.123
2	8.8	0.9	1.114
3	8.9	1.0	1.127
4	8.8	1.0	1.128
5	8.8	1.0	1.128
6	9.1	1.0	1.123
		$\gamma_{\text{ср}} = 1.124$	$\sigma_{\text{с},\gamma} = 0.007$

Теперь оценим вклад приборной погрешности при вычислении величины  $\gamma$ . Измерения  $h_1$  и  $h_2$  проводились с точностью 1мм. Пользуясь формулой (3) можно получить, что относительная погрешность искомой величины

$$\frac{\sigma_\gamma}{\gamma} = \sqrt{\left(\frac{\partial\gamma(h_1, h_1 - h_2)}{\partial h_1} \sigma_{h_1}\right)^2 + \left(\frac{\partial\gamma(h_1, h_1 - h_2)}{\partial h_1 - h_2} \sigma_{h_1 - h_2}\right)^2} \approx 0.03$$

что даёт нам право пренебречь статистической погрешностью  $\gamma$ .

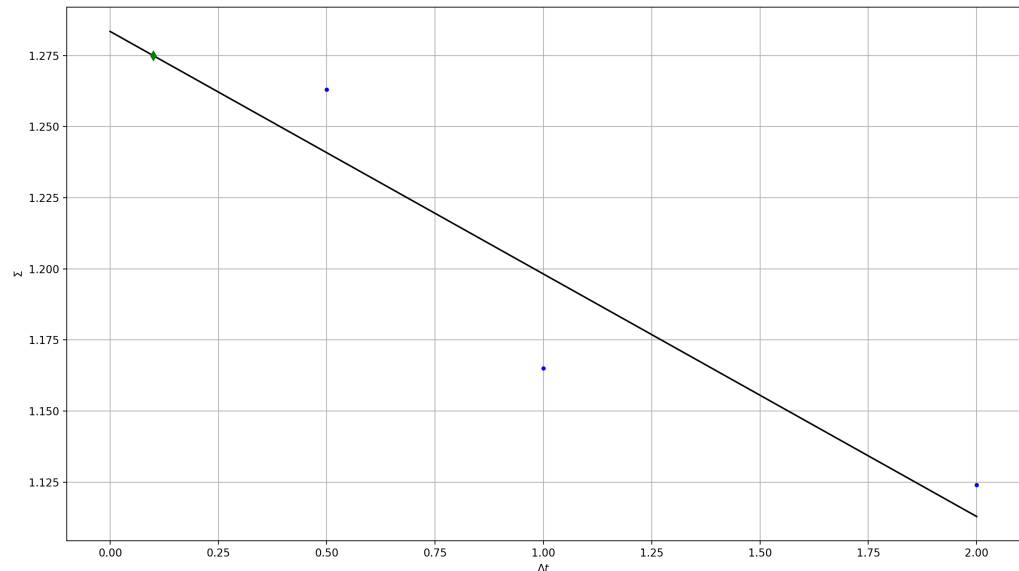


Рис. 3: График зависимости  $\gamma(\Delta t)$

**3.** Окончательный результат следует получить экстраполяцией зависимости  $\gamma$  от  $t$  примерно к значению  $\Delta t = 0,1 - 0,2$ с, когда давление уже почти сравнялось с атмосферным, но теплопроводность ещё не так сильно повлияла на уменьшение  $\gamma$ . Из полученного графика (на графике данная точка отмечена зелёным квадратом) можно сделать вывод, что  $\gamma_{CO_2} = 1,28 \pm 0,06$ . В то время как табличное значение  $\gamma_{CO_2} = 1,30$ , т. е. совпадает с полученным значением в пределах погрешности.

## Вывод

В ходе эксперимента было получено значение показателя адиабаты, которое в пределах погрешности совпадает с табличным. Что говорит о том, что экстраполяция данных на значения, когда теплообмен ещё не успел внести большой вклад, позволяет получить правдоподобный результат.